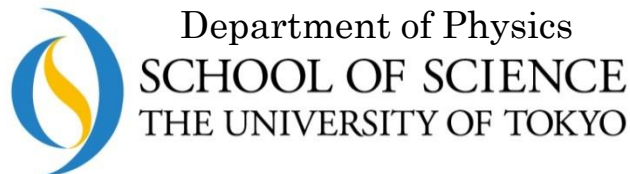


右巻ニュートリノによる 宇宙物質総生成

横山順一



RESearch Cnter for the Early Universe (RESCEU)
The University of Tokyo



Trans-scale Quantum
Science Institute
The University of Tokyo

宇宙を理解すること

$$R_{\mu\nu} - \frac{1}{2} g_{\mu\nu} R = \frac{8\pi G}{c^4} T_{\mu\nu}$$

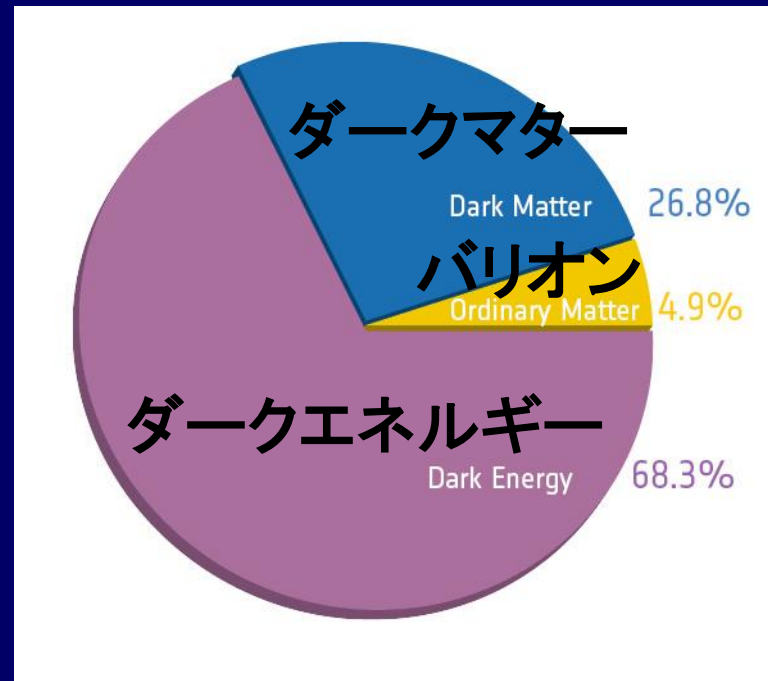
容れ物の問題

- ★ なぜ宇宙はこんなに大きくて一様なのか？
- ★ なぜ空間は平坦なのか？
- ★ 銀河・銀河団などの階層構造のタネになった密度ゆらぎの起源は何か？

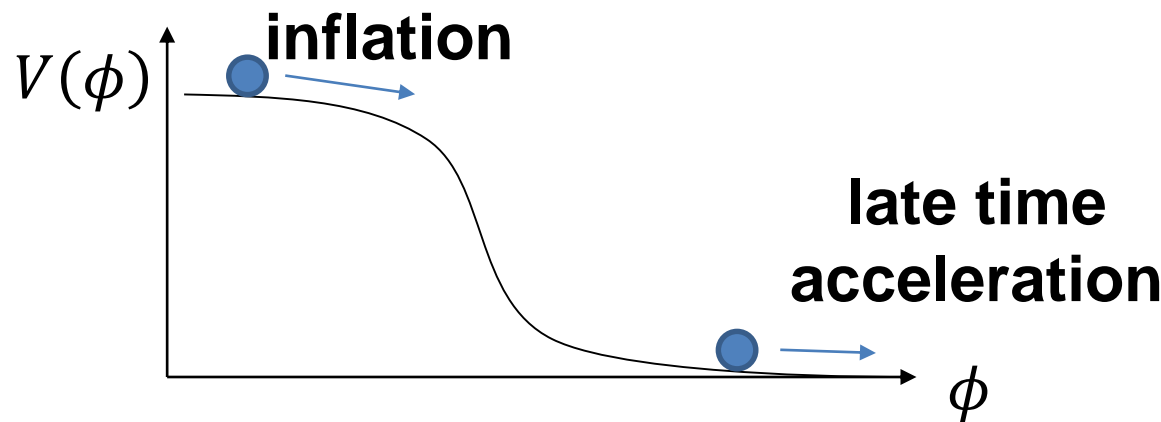
インフレーション宇宙論

観測と整合的にインフレーションを起こす
素粒子論的メカニズムの研究

中身の問題



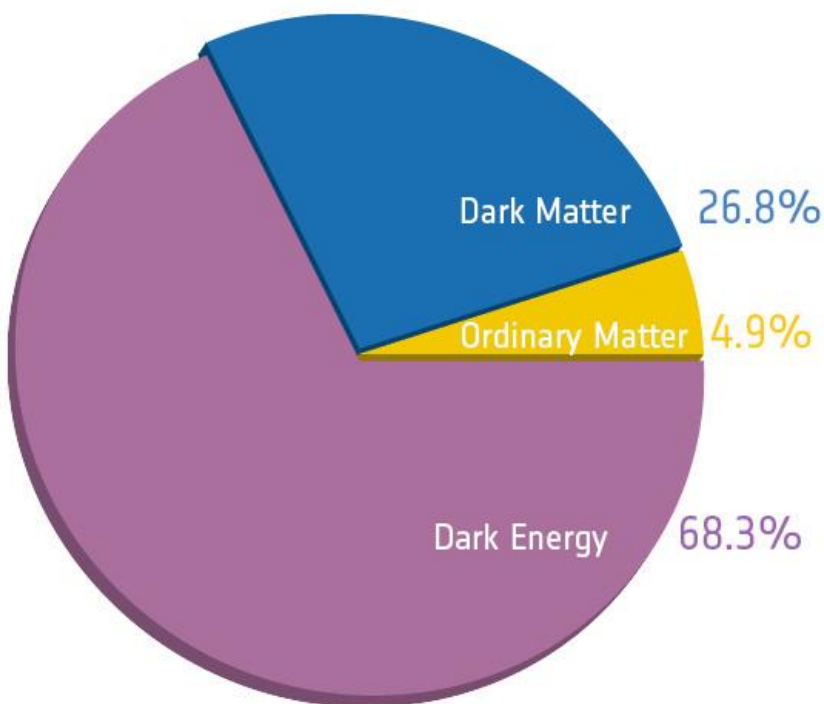
インフレーションとダークエネルギーの起源は共通だと考えてみる



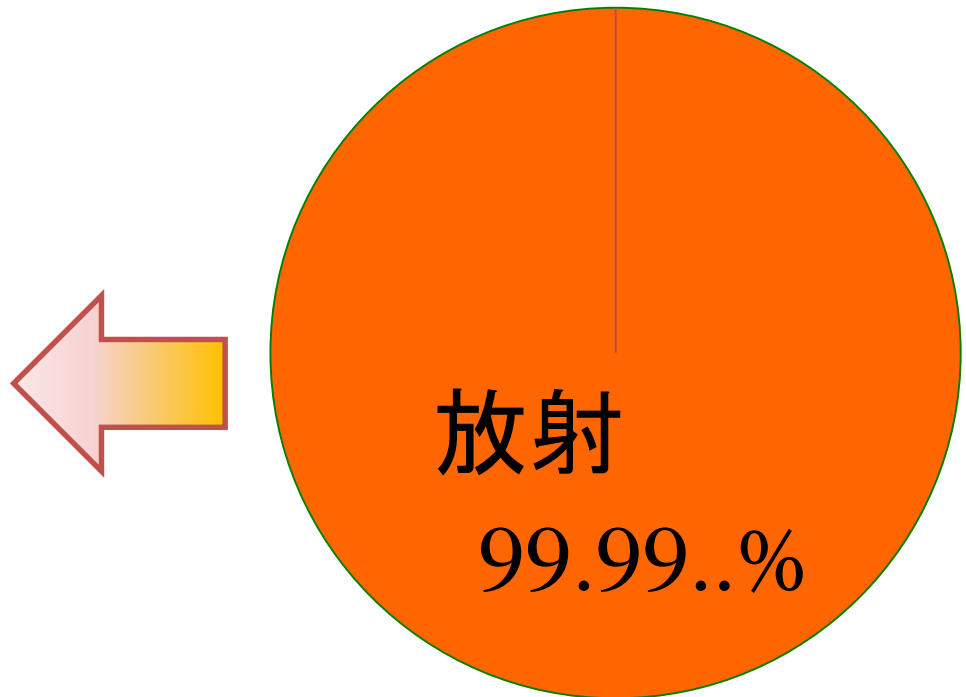
例 (Peebles & Vilenkin 99) のQuintessential Inflation

中身の問題を考える時、もう一つ忘れてはならないこと

$t_0 = 138$ 億年

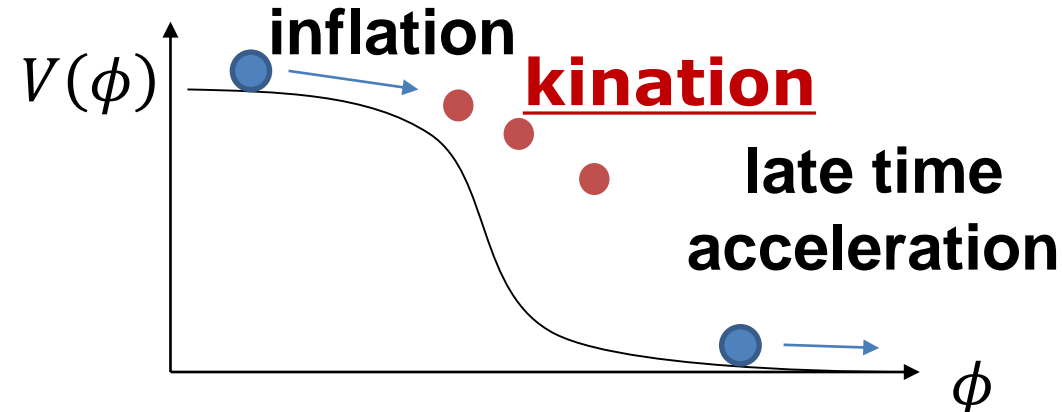
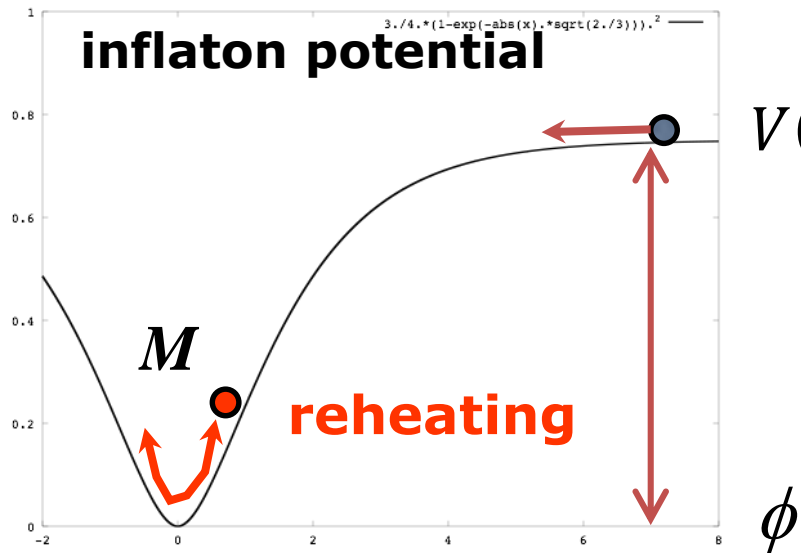


$t = 1$ 秒



放射の起源：宇宙再加熱

通常のインフレーションモデルではインフレーション後スカラー場の振動エネルギーが宇宙を支配し、その崩壊によって放射生成・再加熱が実現する。



Quintessential Inflationでは場の振動は起こらず、インフレーション後スカラー場の運動エネルギーが優勢となる。

Inflation

$$\rho_{total} = \rho_\phi \cong V[\phi] \cong \text{const.} \Rightarrow \rho_\phi \cong V[\phi]$$

Kination

$$\rho_\phi \cong \frac{\dot{\phi}^2}{2} \propto a^{-6}(t)$$

$$\begin{array}{ccc} \text{Inflation} & & \text{Kination} \\ \rho_{total} = \rho_\phi \cong V[\phi] \cong \text{const.} \Rightarrow \Rightarrow \rho_\phi \cong \frac{\dot{\phi}^2}{2} \propto a^{-6}(t) \\ a(t) \propto e^{H_{\text{inf}} t} \Rightarrow \Rightarrow a(t) \propto t^{\frac{1}{3}} \end{array}$$

この宇宙膨張則の変化によって重力的粒子生成が起こる

(例)スカラー場 χ のモード関数は $\frac{d^2\chi_k}{d\eta^2} + [k^2 - V(\eta)]\chi_k = 0 \quad \eta = \int \frac{dt}{a(t)}$

$V(\eta) = -a^2(\eta) \left[m_\chi^2 + \left(\xi - \frac{1}{6} \right) R(\eta) \right]$ という時間依存した「質量項」を持つ

$$\chi_k(\eta) = \chi_k^{(in)}(\eta) + \frac{1}{\omega} \int_{-\infty}^{\eta} V(\eta') \sin \omega(\eta - \eta') \chi_k(\eta') d\eta'$$

$$\chi_k^{(in)}(\eta) = \frac{e^{-i\omega\eta}}{\sqrt{2\omega}} \quad (\eta \rightarrow -\infty) \qquad \chi_k(\eta) = \frac{1}{\sqrt{2\omega}} \left(\alpha_k e^{-i\omega\eta} + \beta_k e^{i\omega\eta} \right) \quad (\eta \rightarrow \infty)$$

この分真空がズレる

生成する放射のエネルギー密度は

Bogoliubov係数 $\beta_\omega = \frac{i}{2\omega} \int_{-\infty}^{\infty} e^{-2i\omega\eta} V(\eta) d\eta$ によって

$$\rho_r = \frac{1}{2\pi^2 a^4} \int_0^{\infty} |\beta_\omega|^2 \omega^3 d\omega.$$
 と表される

質量ゼロで曲率と結合していないスカラー場一自由度につき

$r_r @ \frac{9H_{\text{inf}}^4}{64\rho^2 a^4}$ だけ生成する。

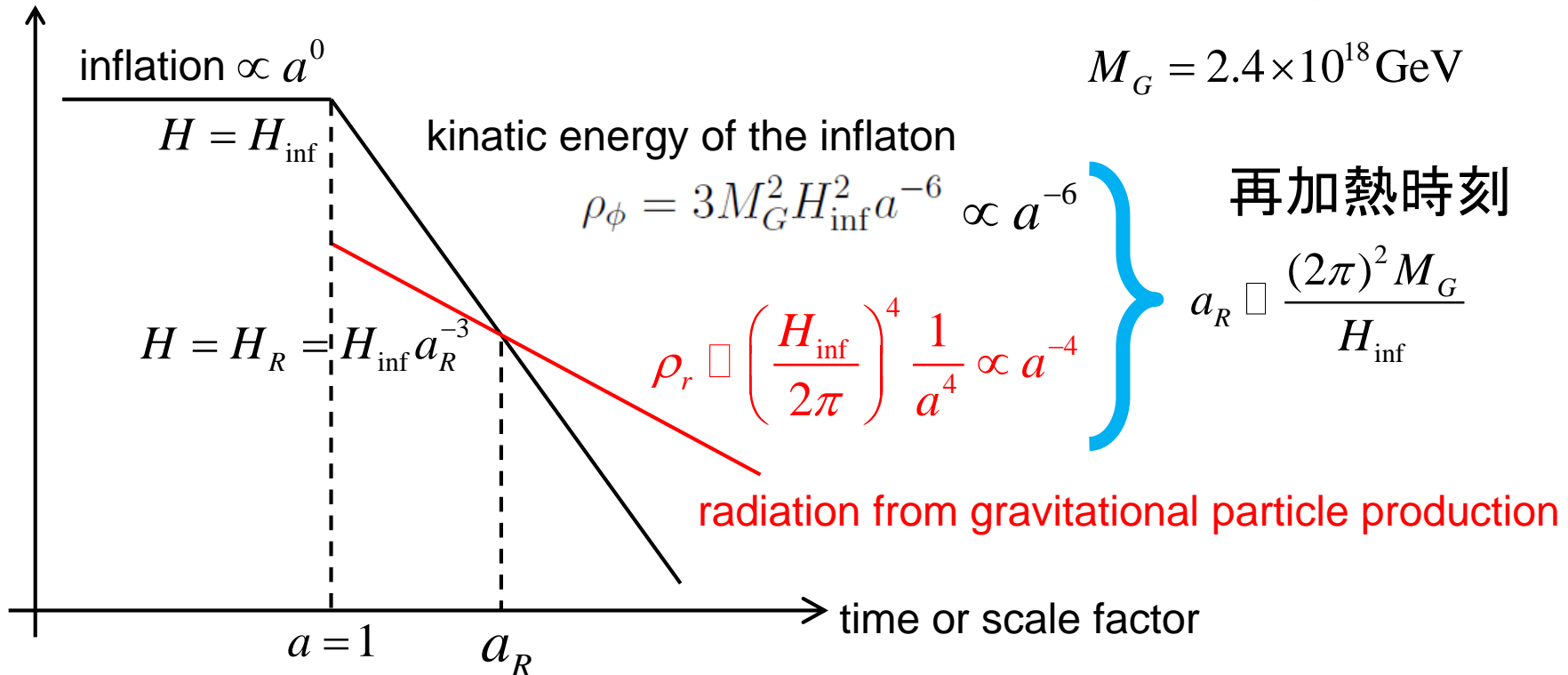
ド・ジッター時空のホーキング温度 $\frac{H_{\text{inf}}}{2\pi}$ くらい

グラビトンも同じように生成し、偏光2自由度分でこの2倍生成



これを十分薄めないとCMBや元素合成に矛盾してしまう

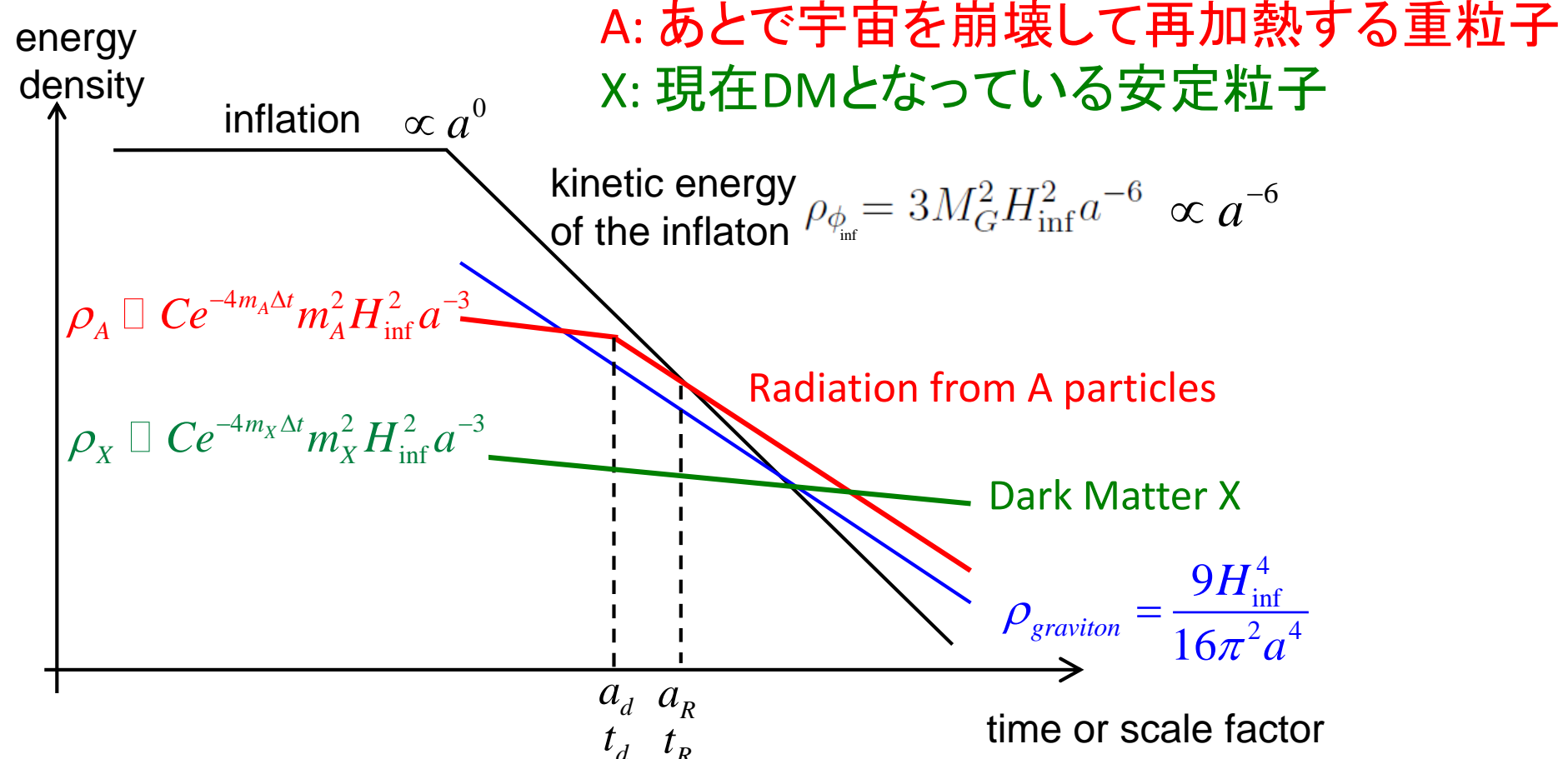
energy density このシナリオでのエネルギー密度の進化



再加熱温度 $T_R \approx 0.01 \frac{H_{\text{inf}}^2}{M_G} \approx 10^4 \text{ GeV} \left(\frac{H_{\text{inf}}}{10^{12} \text{ GeV}} \right)^2$

低い。寒い

★グラビトンを薄めるため、重粒子も生成し、それがあとで崩壊することによって宇宙が再加熱すると考える。ついでにダークマターも重力粒子生成で作ろう。



A particles decay at $a = a_d$ to radiation with the decay rate $\Gamma_A \equiv \alpha m_A$.

The Universe became radiation dominant at $a = a_R$: reheating time.

以上すべてを右巻ニュートリノによって説明したい

Hashiba & JY 1905.12423

- We consider 3 hierarchical right-handed neutrinos
(Kusenko, Takahashi & Yanagida 10)

$N_3 : M_3 \sim 10^{13} \text{ GeV}$

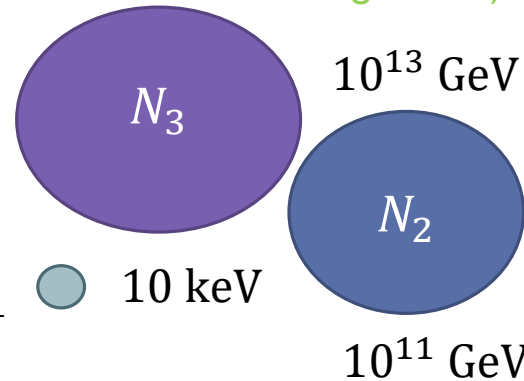
Reheating

$N_2 : M_2 \sim 10^{11} \text{ GeV}$

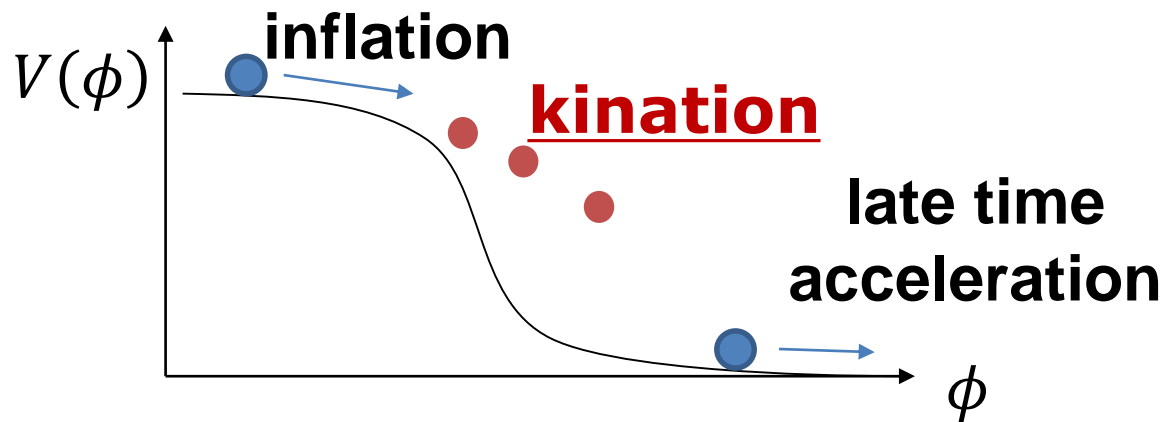
Baryogenesis

$N_1 : M_1 \sim 10 \text{ keV}$

Dark matter N_1



- $\mathcal{L}_N = M_i \bar{N}_i^c N_i + h_{i\alpha} N_i L_\alpha H^\dagger$
- Quintessential inflation which is followed by kination



(Peebles & Vilenkin 99)

フェルミオンの重力粒子生成

- 運動項は共形不変なので質量に依存する。

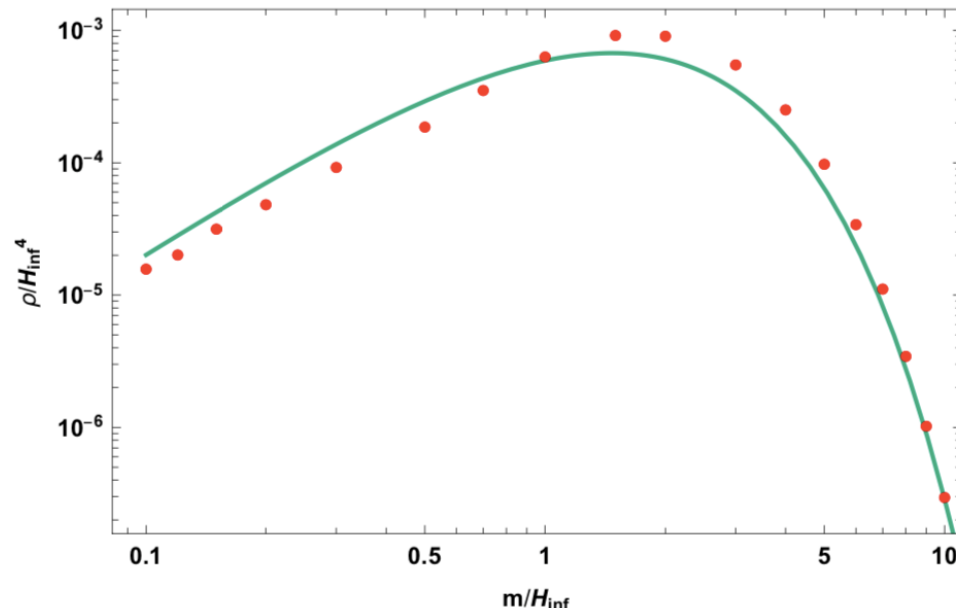
$$\rho \cong C' e^{-4m\Delta t} m^2 H_{\text{inf}}^2 a^{-3}$$

m : 質量

$$C' \cong 2 \times 10^{-3} \approx 10C_{\text{scalar}}$$

Δt : 宇宙膨張則の変化の所要時間(H_{inf}^{-1} 程度)

H_{inf} : inflation中のハッブルパラメタ



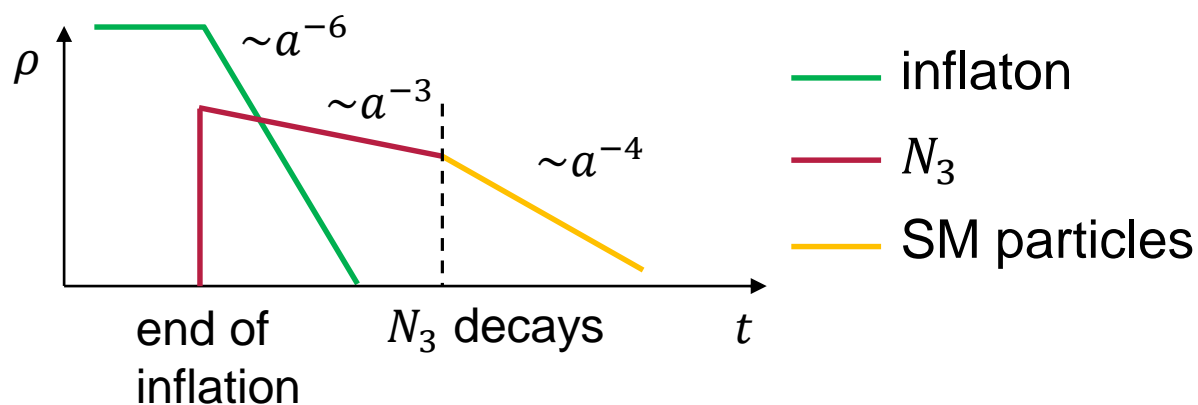
N_3 によって放射の起源を説明する

- Decay of N_3

N_3 decays into SM particles with decay rate Γ_3

$$\Gamma_3 = \frac{1}{4\pi} \sum_{\alpha} |\tilde{h}_{i\alpha}|^2 M_3 \quad i = 3$$

Since N_3 is much heavier than any SM particles,
resultant SM particles are relativistic



- 再加熱温度

$$T_{RH} \cong 6 \times 10^7 \left(\frac{\sum_{\alpha} |\tilde{h}_{3\alpha}|^2}{10^{-12}} \right)^{-\frac{1}{4}} e^{-3M_3 \Delta t} \left(\frac{M_3}{10^{13} \text{GeV}} \right)^{\frac{5}{4}} \left(\frac{H_{\text{inf}}}{10^{13} \text{GeV}} \right)^{\frac{3}{4}} \text{GeV}$$

- グラビトンを十分薄めるための条件

$$N_{\text{eff,GW}} = 2.36 \frac{r_{GW}}{r_{\text{rad}}} = 2.36 \frac{r_{GW}}{r_{N_3}} \Big|_{\text{decay}} < 0.72$$

→ $\left(\sum_{\alpha} |\tilde{h}_{3\alpha}|^2 \right)^{-\frac{1}{3}} e^{-4M_3 \Delta t} \left(\frac{M_3}{H_{\text{inf}}} \right)^{\frac{5}{3}} > 1.0 \times 10^2$

→ $\sum_{\alpha} |\tilde{h}_{3\alpha}|^2 < 8.5 \times 10^{-11}$

~ Yukawa coupling of electron

レプトジェネシスによってバリオン非対称を生成

(Fukugita & Yanagida 86)

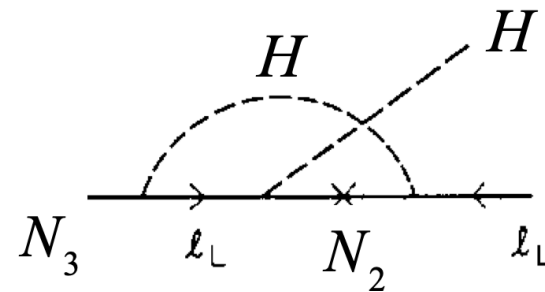
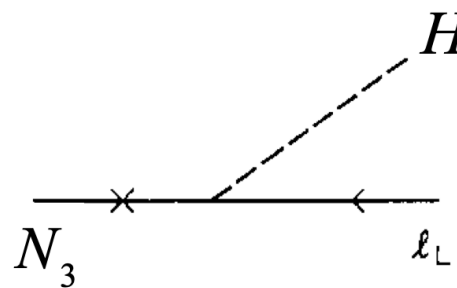
$$\frac{n_B}{s} = \frac{28}{79} \frac{n_L}{s}$$

$$\approx 1 \times 10^{-3} \frac{\text{Im} \left[\left\{ (\tilde{h} \tilde{h}^\dagger)_{32} \right\}^2 \right]}{(\tilde{h} \tilde{h}^\dagger)_{33}} \left(e^{-M_3 \Delta t} \ln \frac{M_3}{M_2} \right) \left(\sum_\alpha |\tilde{h}_{3\alpha}|^2 \right)^{\frac{1}{4}} \frac{M_2}{M_3} \left(\frac{M_3}{H_{\text{inf}}} \right)^{-\frac{1}{4}}$$

$$= 9 \cdot 10^{-11}$$

CP violation

Interference
between N_3 & N_2



$$M_2 \gtrsim 10^{11} \text{ GeV} \quad \text{and} \quad \tilde{h}_{22} \text{ or } \tilde{h}_{23} \gtrsim 10^{-3} \sqrt{M_3/M_2}$$

N_1 をダークマターに。 (split seesaw scenario)

(Kusenko, Takahashi & Yanagida 10)

~10keV のステライルニュートリノ
はダークマターになり得る

$$\theta^2 \simeq \sum_{\alpha} \left| \tilde{h}_{1\alpha} \right|^2 \frac{\nu^2}{2M_1^2} \sim 10^{-11} \quad \nu = 246 \text{GeV}$$

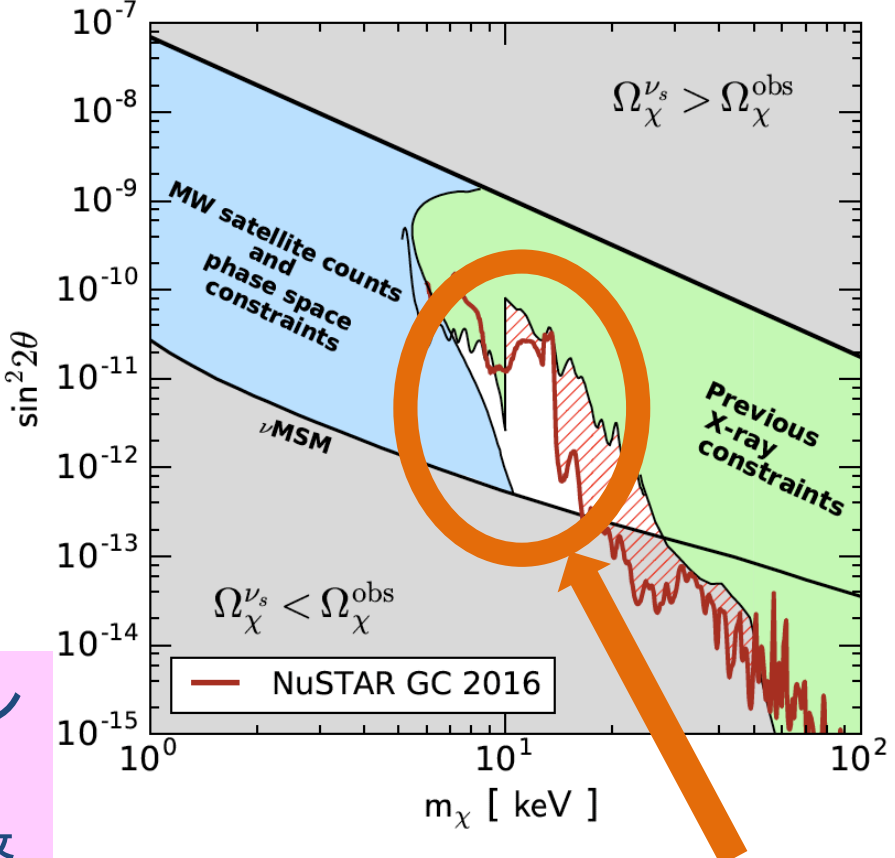
For $M_1 \sim 10 \text{ keV}$,

$$\sum_{\alpha} \left| \tilde{h}_{1\alpha} \right|^2 < 10^{-26}$$

Randall-Sundrum 型のブレーン
ワールドシナリオを考えればこの
極小湯川結合定数も大きな微調整
なく説明可能ではある

許容域

K. Perez et al., Phys. Rev. D95 (2017) 123002.



$M_{N_1} \gg 10 \text{ keV}$

最大の問題は、想定される N_1 の質量10keVでは、重力粒子生成で十分な量の N_1 を作ることができないこと。

もし N_1 が時空のスカラー曲率と以下のようないくつかの結合を持っていたら、インフレーション終了時に R は大きく変化するのでそれによって実効質量が変化し、粒子生成を十分起こせる。

$$\frac{R}{\mu} \bar{\psi} \psi \quad \mu : \text{質量次元を持った定数}$$

インフレーション終了時の数密度は $n \cong 1.1 \times 10^{-1} H_{\text{inf}}^5 / \mu^2$ 程度になる。

$m \gg 10^{15} \text{GeV}$ とすればダークマターの適切な存在量が説明できる

Conclusion

3世代の右巻ニュートリノで

放射

バリオン非対称

ダークマター

のすべてを説明できるような真っ当な理論を構築したい

インフレーション宇宙

金正

- RS brane-world scenario

We identify the zero mode of a 5D bulk field $\bar{\Psi}_i$ with the 4D right-handed neutrino N_i

$$S = \int d^4x dy \left\{ M(i\bar{\Psi}_i \gamma^A \partial_A \Psi_i + m_i \bar{\Psi}_i \Psi_i) + \delta(y) \left(\frac{\kappa_i}{2} v_{B-L} \bar{\Psi}_i^c \Psi_i + \lambda_{i\alpha} \bar{\Psi}_i L_\alpha H^\dagger + \text{h. c.} \right) \right\}$$

M : 5D fundamental scale $\sim 5 \times 10^{17}$ GeV

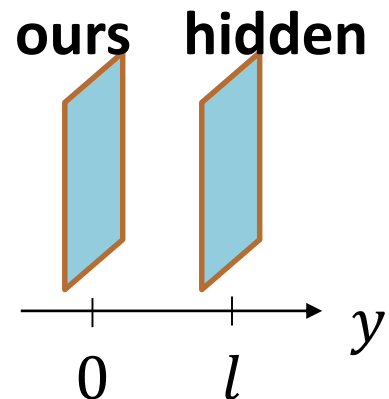
m_i : bulk mass

l : size of extra dimension $\sim (10^{16}$ GeV) $^{-1}$

κ_i : numerical constant of order unity

v_{B-L} : VEV of B – L gauge boson $\sim 10^{16}$ GeV

L. Randall and R. Sundrum, *Phys. Rev. Lett.* 83 (1999) 3370.



- RS brane-world scenario

RS brane-world scenario can explain

- Large mass hierarchy
- Extremely small coupling

$$\begin{aligned} 4D & \qquad \qquad \qquad 5D \\ M_i &= \kappa_i v_{B-L} \frac{2m_i}{M(e^{2m_il} - 1)} \\ \tilde{h}_{i\alpha} &= \frac{\lambda_{i\alpha}}{\sqrt{M}} \sqrt{\frac{2m_i}{e^{2m_il} - 1}} \end{aligned}$$

4D parameters

$$\begin{aligned} M_3 &\sim 10^{13} \text{ GeV} & \tilde{h}_{3\alpha} &< 3 \times 10^{-6} \\ M_2 &\sim 10^{11} \text{ GeV} & \tilde{h}_{22,23} &\sim 10^{-2} \\ M_1 &\sim 10 \text{ keV} & \tilde{h}_{1\alpha} &< 10^{-13} \end{aligned}$$



5D parameters

$$\begin{aligned} m_3 &\sim 2.3l^{-1} & \lambda_{3\alpha} &< 3 \times 10^{-4} \\ m_2 &\sim 3.6l^{-1} & \lambda_{22,23} &\sim 1 \\ m_1 &\sim 24l^{-1} & \lambda_{1\alpha} &< 10^{-2} \end{aligned}$$

金正